

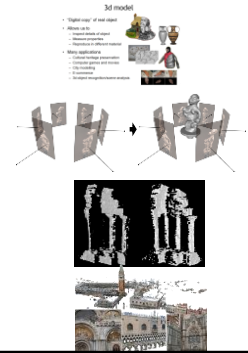
3d shape reconstruction from photographs: a Multi-View Stereo approach

Carlos Hernández George Vogiatzis Yasutaka Furukawa
 Google Aston University Google

<http://carlos-herandez.org/cvpr2010/index.html>

Talk plan

- Introduction
- Multi-View Stereo pipeline
- Fusion of occlusion-robust depth-maps
- Region growing



3d model

- “Digital copy” of real object
- Allows us to
 - Inspect details of object
 - Measure properties
 - Reproduce in different material
- Many applications
 - Cultural heritage preservation
 - Computer games and movies
 - City modelling
 - E-commerce
 - 3d object recognition/scene analysis



Applications: cultural heritage

SCULPTEUR European project



Applications: art



Block Works Precipitate III 2004
Mild steel blocks 80 x 46 x 66 cm



Domain Series Domain VIII Crouching
1999 Mild steel bar 81 x 59 x 63 cm



Applications: structure engineering



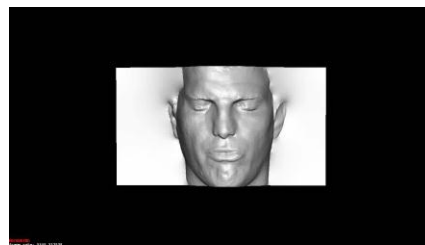
BODY / SPACE / FRAME, Antony Gormley, Lelystad, Holland



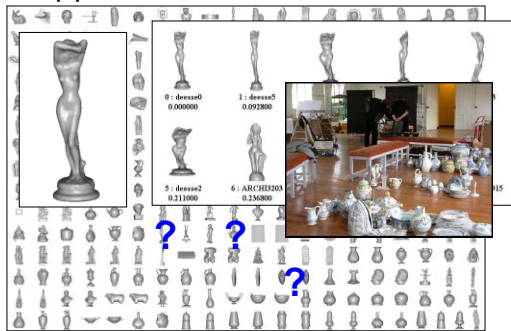
Applications: art



Applications: computer games



Applications: 3D indexation



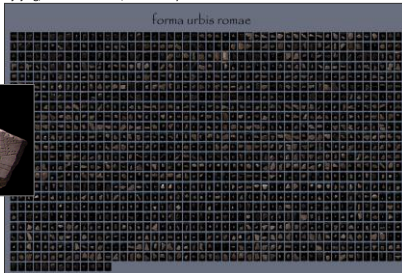
Applications: archaeology

- “forma urbis romae” project

Fragments of the City: Stanford's Digital Forma Urbis Romae Project
 David Koller, Jennifer Trimble, Tina Najbjerg, Natasha Gelfand, Marc Levy
Proc. Third Williams Symposium on Classical Architecture, Journal of Roman Archaeology supplement, 2006.



1186 fragments



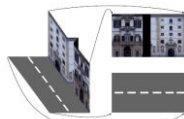
Applications: large scale modelling



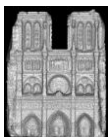
[Furukawa10]



[Pollefeys08]



[Cornelis08]



[Goesele07]

Scanning technologies

- Laser scanner, coordinate measuring machine
 - Very accurate
 - Very Expensive
 - Complicated to use



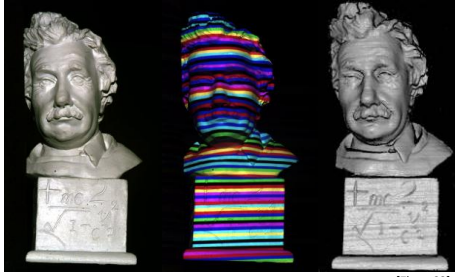
Minolta



Contura CMM

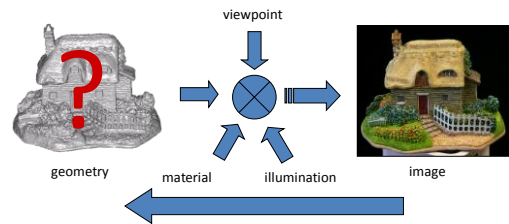
Scanning technologies

- Structured light



3d shape from photographs

"Estimate a 3d shape that would generate the input photographs given the same material, viewpoints and illumination"



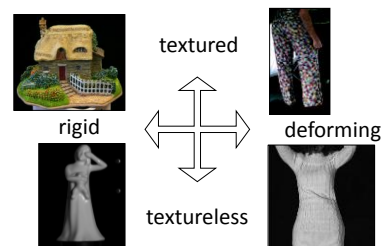
3d shape from photographs

"Estimate a 3d shape that would generate the input photographs given the same material, viewpoints and illumination"



3d shape from photographs

Appearance strongly depends on the material and lighting

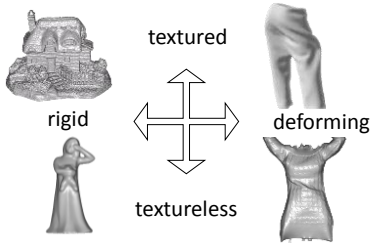


3d shape from photographs

Appearance strongly depends on the material and lighting



No single algorithm exists dealing with **any** type of scene



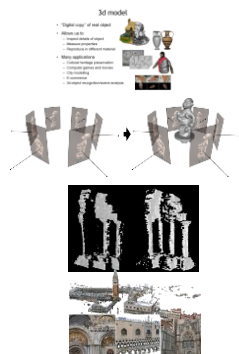
3d shape from photographs

Photograph based 3d reconstruction is:

- ✓ practical
- ✓ fast
- ✓ non-intrusive
- ✓ low cost
- ✓ Easily deployable outdoors
- ✗ "low" accuracy
- ✗ Results depend on material properties

Talk plan

- Introduction
- Multi-View Stereo pipeline
- Fusion of occlusion-robust depth-maps
- Region growing



Multi-view stereo pipeline

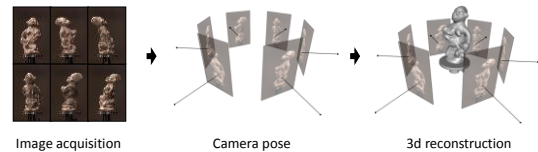


Image acquisition

- **Studio conditions**
controlled environment
- **Uncontrolled environment**
hand-held
unknown illumination
- **Internet**
Unknown content
- **Video**
small motion between frames
huge amount of data



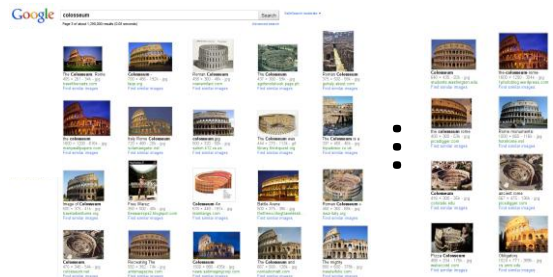
Studio image acquisition



Outdoor image acquisition



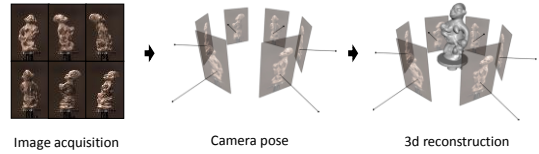
Internet image acquisition



Video image acquisition



Multi-view stereo pipeline



Camera pose

- Robotic arm

Small Scenes

- Fiducial markers



- Structure-from-Motion

Large scenes

- SfM from unorganized photographs



Robotic arm



Fiduciary markers

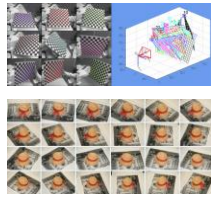
- ARToolkit



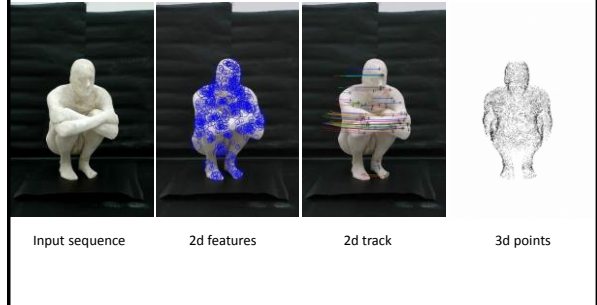
- Bouquet's MATLAB Toolbox

www.vision.caltech.edu/bouquet/calib_doc/

- Robust planar patterns



Structure from motion



Motion estimation result



Structure-from-Motion from unordered image collections

[Brown05, Snavely06, Agarwal09]

- Image clustering
- Pose initialization
- Bundle-adjustment

phototour.cs.washington.edu/bundler

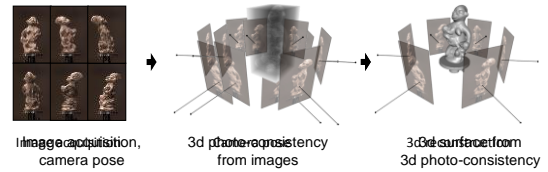


Camera pose

- Robotic arm
- Fiducial markers
- Structure-from-Motion
- SfM from unorganized photographs



Multi-view stereo pipeline



3d reconstruction = 3d segmentation

Photo-consistency of a 3d point

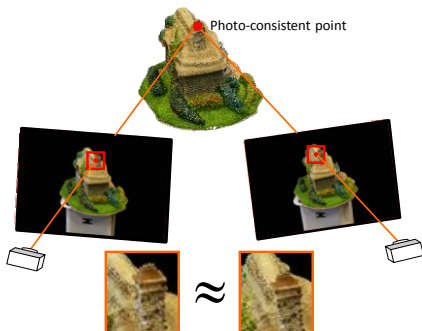


Photo-consistency of a 3d point

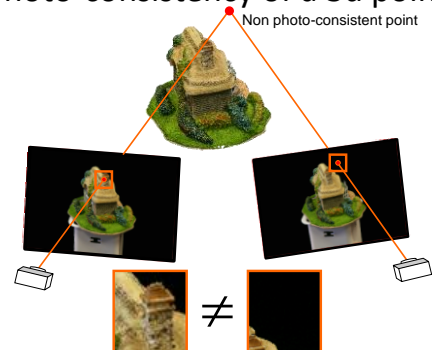
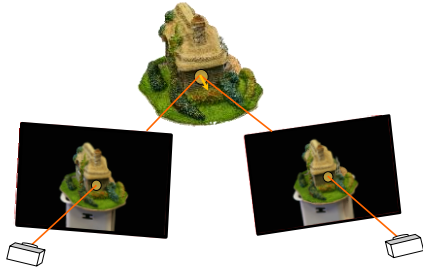
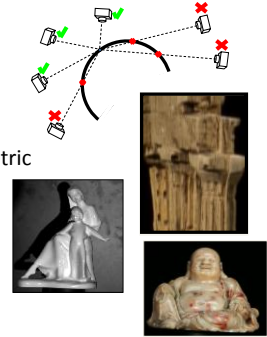


Photo-consistency of a 3d patch



Challenges of photo-consistency

- Camera visibility
- Failure of comparison metric
 - repeated texture
 - lack of texture
 - specularities



Multi-view stereo algorithms

- Comparison and evaluation:
 - A Comparison and Evaluation of Multi-View Stereo Reconstruction Algorithms, S. Seitz et al., CVPR 2006, vol. 1, pages 519-526.
- Quick history of algorithms:
 - Representing stereo data with the Delaunay triangulation, O. Faugeras et al., Artificial Intelligence, 44(1-2):41-87, 1990.
 - A multiple-baseline stereo, M. Okutomi and T. Kanade, TPAMI, 15(4):353-363, 1993.
 - Object-centered surface reconstruction: Combining multi-image stereo and shading, P. Fua, Y. Leclerc, International Journal of Computer Vision, vol. 16:35-56, 1995.
 - A portable three-dimensional digitizer, Y. Matsumoto et al., Int. Conf. on Recent Advances in 3D Imaging and Modeling, 197-205, 1997.
 - Photorealistic Scene Reconstruction by Voxel Coloring, S. M. Seitz and C. R. Dyer, CVPR., 1067-1073, 1997.
 - Variational principles, surface evolution, PDE's, level set methods and the stereo problem, O. Faugeras and R. Keriven, IEEE Trans. on Image Processing, 7(3):336-344, 1998.

Multi-view stereo algorithms

- Comparison and evaluation:
 - A Comparison and Evaluation of Multi-View Stereo Reconstruction Algorithms, S. Seitz et al., CVPR 2006, vol. 1, pages 519-526.
 - <http://vision.middlebury.edu/mview/>
- Recently many new algorithms
- Very good accuracy & completeness
- Almost all deal with small number of images (~100) main exception [Pollefeys08]
- Offline algorithms, no feedback

Scene	Time								
	(s)								
Colosseum	1:02	1:02	1:02	1:02	1:02	1:02	1:02	1:02	1:02
Cones	0:01	0:01	0:01	0:01	0:01	0:01	0:01	0:01	0:01
Crater	0:01	0:01	0:01	0:01	0:01	0:01	0:01	0:01	0:01
Chair	0:01	0:01	0:01	0:01	0:01	0:01	0:01	0:01	0:01
Chair2	0:01	0:01	0:01	0:01	0:01	0:01	0:01	0:01	0:01
Chair3	0:01	0:01	0:01	0:01	0:01	0:01	0:01	0:01	0:01
Chair4	0:01	0:01	0:01	0:01	0:01	0:01	0:01	0:01	0:01
Chair5	0:01	0:01	0:01	0:01	0:01	0:01	0:01	0:01	0:01
Chair6	0:01	0:01	0:01	0:01	0:01	0:01	0:01	0:01	0:01
Chair7	0:01	0:01	0:01	0:01	0:01	0:01	0:01	0:01	0:01
Chair8	0:01	0:01	0:01	0:01	0:01	0:01	0:01	0:01	0:01
Chair9	0:01	0:01	0:01	0:01	0:01	0:01	0:01	0:01	0:01
Chair10	0:01	0:01	0:01	0:01	0:01	0:01	0:01	0:01	0:01
Chair11	0:01	0:01	0:01	0:01	0:01	0:01	0:01	0:01	0:01
Chair12	0:01	0:01	0:01	0:01	0:01	0:01	0:01	0:01	0:01
Chair13	0:01	0:01	0:01	0:01	0:01	0:01	0:01	0:01	0:01
Chair14	0:01	0:01	0:01	0:01	0:01	0:01	0:01	0:01	0:01
Chair15	0:01	0:01	0:01	0:01	0:01	0:01	0:01	0:01	0:01
Chair16	0:01	0:01	0:01	0:01	0:01	0:01	0:01	0:01	0:01
Chair17	0:01	0:01	0:01	0:01	0:01	0:01	0:01	0:01	0:01
Chair18	0:01	0:01	0:01	0:01	0:01	0:01	0:01	0:01	0:01
Chair19	0:01	0:01	0:01	0:01	0:01	0:01	0:01	0:01	0:01
Chair20	0:01	0:01	0:01	0:01	0:01	0:01	0:01	0:01	0:01
Chair21	0:01	0:01	0:01	0:01	0:01	0:01	0:01	0:01	0:01
Chair22	0:01	0:01	0:01	0:01	0:01	0:01	0:01	0:01	0:01
Chair23	0:01	0:01	0:01	0:01	0:01	0:01	0:01	0:01	0:01
Chair24	0:01	0:01	0:01	0:01	0:01	0:01	0:01	0:01	0:01
Chair25	0:01	0:01	0:01	0:01	0:01	0:01	0:01	0:01	0:01
Chair26	0:01	0:01	0:01	0:01	0:01	0:01	0:01	0:01	0:01
Chair27	0:01	0:01	0:01	0:01	0:01	0:01	0:01	0:01	0:01
Chair28	0:01	0:01	0:01	0:01	0:01	0:01	0:01	0:01	0:01
Chair29	0:01	0:01	0:01	0:01	0:01	0:01	0:01	0:01	0:01
Chair30	0:01	0:01	0:01	0:01	0:01	0:01	0:01	0:01	0:01
Chair31	0:01	0:01	0:01	0:01	0:01	0:01	0:01	0:01	0:01
Chair32	0:01	0:01	0:01	0:01	0:01	0:01	0:01	0:01	0:01
Chair33	0:01	0:01	0:01	0:01	0:01	0:01	0:01	0:01	0:01
Chair34	0:01	0:01	0:01	0:01	0:01	0:01	0:01	0:01	0:01
Chair35	0:01	0:01	0:01	0:01	0:01	0:01	0:01	0:01	0:01
Chair36	0:01	0:01	0:01	0:01	0:01	0:01	0:01	0:01	0:01
Chair37	0:01	0:01	0:01	0:01	0:01	0:01	0:01	0:01	0:01
Chair38	0:01	0:01	0:01	0:01	0:01	0:01	0:01	0:01	0:01
Chair39	0:01	0:01	0:01	0:01	0:01	0:01	0:01	0:01	0:01
Chair40	0:01	0:01	0:01	0:01	0:01	0:01	0:01	0:01	0:01
Chair41	0:01	0:01	0:01	0:01	0:01	0:01	0:01	0:01	0:01
Chair42	0:01	0:01	0:01	0:01	0:01	0:01	0:01	0:01	0:01
Chair43	0:01	0:01	0:01	0:01	0:01	0:01	0:01	0:01	0:01
Chair44	0:01	0:01	0:01	0:01	0:01	0:01	0:01	0:01	0:01
Chair45	0:01	0:01	0:01	0:01	0:01	0:01	0:01	0:01	0:01
Chair46	0:01	0:01	0:01	0:01	0:01	0:01	0:01	0:01	0:01
Chair47	0:01	0:01	0:01	0:01	0:01	0:01	0:01	0:01	0:01
Chair48	0:01	0:01	0:01	0:01	0:01	0:01	0:01	0:01	0:01
Chair49	0:01	0:01	0:01	0:01	0:01	0:01	0:01	0:01	0:01
Chair50	0:01	0:01	0:01	0:01	0:01	0:01	0:01	0:01	0:01
Chair51	0:01	0:01	0:01	0:01	0:01	0:01	0:01	0:01	0:01
Chair52	0:01	0:01	0:01	0:01	0:01	0:01	0:01	0:01	0:01
Chair53	0:01	0:01	0:01	0:01	0:01	0:01	0:01	0:01	0:01
Chair54	0:01	0:01	0:01	0:01	0:01	0:01	0:01	0:01	0:01
Chair55	0:01	0:01	0:01	0:01	0:01	0:01	0:01	0:01	0:01
Chair56	0:01	0:01	0:01	0:01	0:01	0:01	0:01	0:01	0:01
Chair57	0:01	0:01	0:01	0:01	0:01	0:01	0:01	0:01	0:01
Chair58	0:01	0:01	0:01	0:01	0:01	0:01	0:01	0:01	0:01
Chair59	0:01	0:01	0:01	0:01	0:01	0:01	0:01	0:01	0:01
Chair60	0:01	0:01	0:01	0:01	0:01	0:01	0:01	0:01	0:01
Chair61	0:01	0:01	0:01	0:01	0:01	0:01	0:01	0:01	0:01
Chair62	0:01	0:01	0:01	0:01	0:01	0:01	0:01	0:01	0:01
Chair63	0:01	0:01	0:01	0:01	0:01	0:01	0:01	0:01	0:01
Chair64	0:01	0:01	0:01	0:01	0:01	0:01	0:01	0:01	0:01
Chair65	0:01	0:01	0:01	0:01	0:01	0:01	0:01	0:01	0:01
Chair66	0:01	0:01	0:01	0:01	0:01	0:01	0:01	0:01	0:01
Chair67	0:01	0:01	0:01	0:01	0:01	0:01	0:01	0:01	0:01
Chair68	0:01	0:01	0:01	0:01	0:01	0:01	0:01	0:01	0:01
Chair69	0:01	0:01	0:01	0:01	0:01	0:01	0:01	0:01	0:01
Chair70	0:01	0:01	0:01	0:01	0:01	0:01	0:01	0:01	0:01
Chair71	0:01	0:01	0:01	0:01	0:01	0:01	0:01	0:01	0:01
Chair72	0:01	0:01	0:01	0:01	0:01	0:01	0:01	0:01	0:01
Chair73	0:01	0:01	0:01	0:01	0:01	0:01	0:01	0:01	0:01
Chair74	0:01	0:01	0:01	0:01	0:01	0:01	0:01	0:01	0:01
Chair75	0:01	0:01	0:01	0:01	0:01	0:01	0:01	0:01	0:01
Chair76	0:01	0:01	0:01	0:01	0:01	0:01	0:01	0:01	0:01
Chair77	0:01	0:01	0:01	0:01	0:01	0:01	0:01	0:01	0:01
Chair78	0:01	0:01	0:01	0:01	0:01	0:01	0:01	0:01	0:01
Chair79	0:01	0:01	0:01	0:01	0:01	0:01	0:01	0:01	0:01
Chair80	0:01	0:01	0:01	0:01	0:01	0:01	0:01	0:01	0:01
Chair81	0:01	0:01	0:01	0:01	0:01	0:01	0:01	0:01	0:01
Chair82	0:01	0:01	0:01	0:01	0:01	0:01	0:01	0:01	0:01
Chair83	0:01	0:01	0:01	0:01	0:01	0:01	0:01	0:01	0:01
Chair84	0:01	0:01	0:01	0:01	0:01	0:01	0:01	0:01	0:01
Chair85	0:01	0:01	0:01	0:01	0:01	0:01	0:01	0:01	0:01
Chair86	0:01	0:01	0:01	0:01	0:01	0:01	0:01	0:01	0:01
Chair87	0:01	0:01	0:01	0:01	0:01	0:01	0:01	0:01	0:01
Chair88	0:01	0:01	0:01	0:01	0:01	0:01	0:01	0:01	0:01
Chair89	0:01	0:01	0:01	0:01	0:01	0:01	0:01	0:01	0:01
Chair90	0:01	0:01	0:01	0:01	0:01	0:01	0:01	0:01	0:01
Chair91	0:01	0:01	0:01	0:01	0:01	0:01	0:01	0:01	0:01
Chair92	0:01	0:01	0:01	0:01	0:01	0:01	0:01	0:01	0:01
Chair93	0:01	0:01	0:01	0:01	0:01	0:01	0:01	0:01	0:01
Chair94	0:01	0:01	0:01	0:01	0:01	0:01	0:01	0:01	0:01
Chair95	0:01	0:01	0:01	0:01	0:01	0:01	0:01	0:01	0:01
Chair96	0:01	0:01	0:01	0:01	0:01	0:01	0:01	0:01	0:01
Chair97	0:01	0:01	0:01	0:01	0:01	0:01	0:01	0:01	0:01
Chair98	0:01	0:01	0:01	0:01	0:01	0:01	0:01	0:01	0:01
Chair99	0:01	0:01	0:01	0:01	0:01	0:01	0:01	0:01	0:01
Chair100	0:01	0:01	0:01	0:01	0:01	0:01	0:01	0:01	0:01

Best flexible algorithms

	Region growing	Depth-map fusion
summary	Starts from a cloud of 3d points, and grows small flat patches maximizing photo-consistency	Fuses a set of depth-maps computed using occlusion-robust photo-consistency
pros	Provides best overall results due to a plane-based photo-consistency	Elegant pipeline Plug-n-play blocks Easily parallelizable
cons	Many tunable parameters, i.e., difficult to tune to get the optimal results	Photo-consistency metric is simple and not optimal. The metric suffers when images are not well textured or low resolution

Bird's-eye view: depth-map fusion

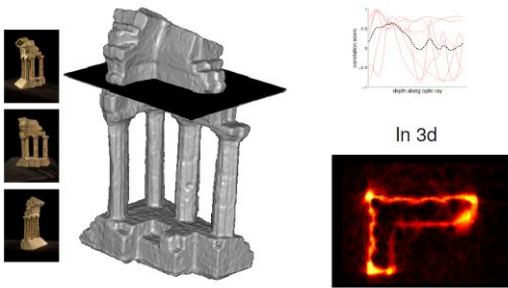
1. Compute depth hypotheses

2. Volumetrically fuse depth-maps

3. Extract 3d surface



Averaged NCC



Aston University

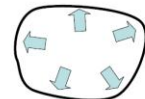
Extracting a surface from photo-consistency

- Define a surface functional $E[S] = \text{some cost}$
- Minimize E
- Need *volume term* to avoid collapsing to a point

$$E[S] = \iint_S \rho(x) dS + \iiint_{V(S)} \sigma(x) dV$$

$\rho(x) = 1.0$ - Photoconsistency

$\sigma(x) = -1$ (inflation)



Aston University

Graph cut

Aston University
Birmingham

3D binary labelling problem

Labelling cost:

- Every voxel has a certain preference for being **foreground** or **background**

Compatibility cost:

- Every pair of neighbour voxels has a certain preference for being given the *same* or *opposite* labels
- Cost for opposite labels is greater than for same label (sub-modular)

$$\text{Green} + \text{Red} \leq \text{Green} + \text{Green} + \text{Red} + \text{Red}$$

Aston University
Birmingham

Three equivalent representations

Binary labelling

Graph partition

Continuous functional

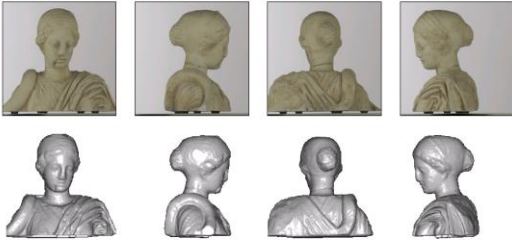
$$E[S] = \iint_S \rho(x) dS + \iiint_{V(S)} \tau(x) dV$$

Aston University
Birmingham

Results

Aston University
Birmingham

Results



gcut3d binary

Aston University
Birmingham

Data driven 3D MRF labelling cost

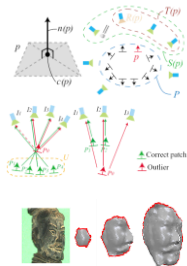
- Problem: if sensor is too confident:



Aston University
Birmingham

Bird's-eye view: region growing

- 1. Fitting step**
A local surface patch is fitted, iterating visibility
- 2. Filter step**
Visibility is explicitly enforced
- 3. Expand step**
Successful patches are used to initialise active boundary



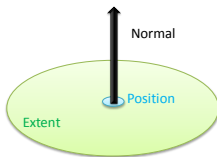
Patch-based MVS and its Applications

- Why patches (oriented points)? [10 mins]
- Algorithmic details [30 mins]
- Applications [20 mins]



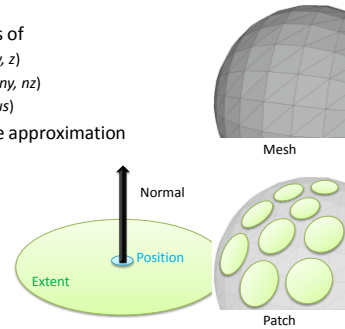
What is a patch?

- Patch consists of
 - Position (x, y, z)
 - Normal (n_x, n_y, n_z)
 - Extent (*radius*)
- Tangent plane approximation



What is a patch?

- Patch consists of
 - Position (x, y, z)
 - Normal (n_x, n_y, n_z)
 - Extent (*radius*)
- Tangent plane approximation



Why patches?

- Flexible



Why patches?

- Flexible



Why patches?

- Flexible ↔ Hard to enforce regularization



Why patches?

- Flexible ↔ Hard to enforce regularization

Regularization not really necessary

because

Local image patch is descriptive enough

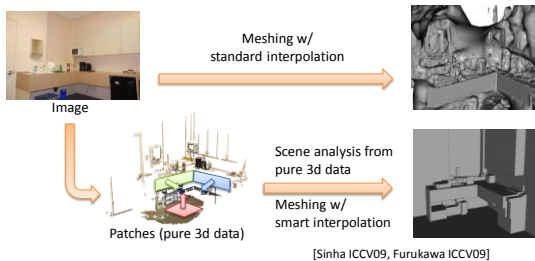
[Goesele et al., CVPR06], [Furukawa et al., CVPR07]



9x9 pixels

Why patches?

- Extracts pure 3d data w/o interpolation

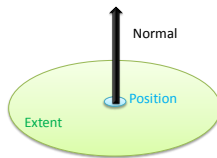


Patches vs. multiple depthmaps (could be my biased-view...)

- Patches → Single global 3D model
Depthmaps → Multiple redundant 3D models
- Patches → Clean 3D points
Depthmaps → Noisy without merging
- Patches → Hard to make it fast (complex algo)
Depthmaps → Easy to make it fast

Patch definition

- Position, normal, and extent



Patch definition

- Patch p is defined by
 - Position $c(p)$
 - Normal $n(p)$
 - Visible images $V(p)$
- Extent is set so that p is roughly 9x9 pixels in $V(p)$

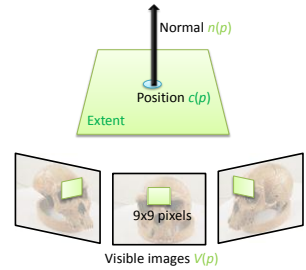


Photo-consistency

- Photo-consistency $N(I, J, p)$ of p between two images I and J

I_{xy} : pixel color in image I

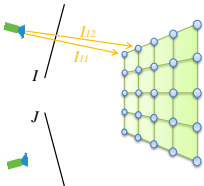
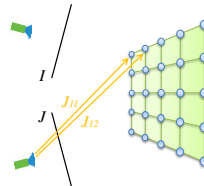


Photo-consistency

- Photo-consistency $N(I, J, p)$ of p between two images I and J

I_{xy} : pixel color in image I

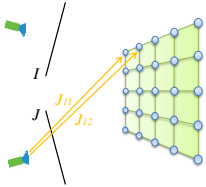
J_{xy} : pixel color in image J



$$N(I, J, p) = \frac{\sum (I_{xy} - \bar{I}_{xy}) \cdot (J_{xy} - \bar{J}_{xy})}{\sqrt{(\sum (I_{xy} - \bar{I}_{xy})^2) \cdot \sum (J_{xy} - \bar{J}_{xy})^2}}$$

Photo-consistency

- Photo-consistency $N(I, J, p)$ of p between two images I and J



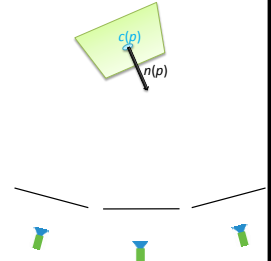
I_{xy} : pixel color in image I
 J_{xy} : pixel color in image J

$$N(I, J, p) = \frac{\sum_{xy} (I_{xy} - I'_{xy}) \cdot (J_{xy} - J'_{xy})}{\sqrt{(\sum_{xy} (I_{xy} - I'_{xy})^2) \cdot (\sum_{xy} (J_{xy} - J'_{xy})^2)}}$$

$$N(p) = \frac{\sum_{i=1}^n \sum_{j=i+1}^n N(I_i, I_j, p)}{(n+1)n/2}$$

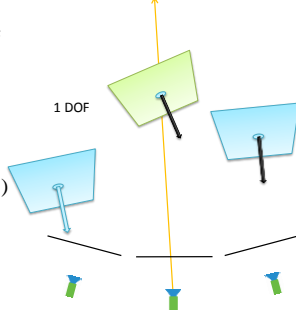
Reconstruct patch p

- Given initial estimates of
 - Position $c(p)$
 - Normal $n(p)$
 - Visible images $V(p)$
- Refine $c(p)$ and $n(p)$
 $\{c(p), n(p)\} = \arg \max_{\{c(p), n(p)\}} N(p)$



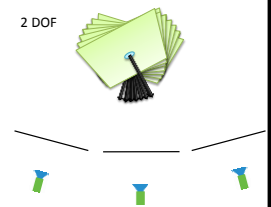
Reconstruct patch p

- Given initial estimates of
 - Position $c(p)$
 - Normal $n(p)$
 - Visible images $V(p)$
- Refine $c(p)$ and $n(p)$
 $\{c(p), n(p)\} = \arg \max_{\{c(p), n(p)\}} N(p)$



Reconstruct patch p

- Given initial estimates of
 - Position $c(p)$
 - Normal $n(p)$
 - Visible images $V(p)$
- Refine $c(p)$ and $n(p)$
 $\{c(p), n(p)\} = \arg \max_{\{c(p), n(p)\}} N(p)$



Verify a patch

- Textures may match by accident

Verify a patch

- Textures may match by accident
- Photo-consistency must be reasonably high

Verify a patch

- Textures may match by accident
- Photo-consistency must be reasonably high
- Verification process
 - Keep only high photo-consistency images in $V(p)$

Verify a patch

- Textures may match by accident
- Photo-consistency must be reasonably high
- Verification process
 - Keep only high photo-consistency images in $V(p)$
 - Accept if $|V(p)| \geq 3$

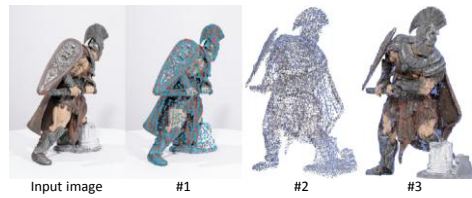
Patch-based MVS [Furukawa and Ponce 07]

- Preliminaries
- Algorithm



Patch-based MVS [Furukawa and Ponce 07]

- #1. Feature detection
- #2. Initial feature matching
- #3. Patch expansion and filtering



Algorithm overview

- #1. Feature detection
- #2. Initial feature matching
- #3. Patch expansion and filtering



Feature detection

- Extract local maxima of
 - Harris corner detector (corners)
 - Difference of Gaussian (blobs)



Algorithm overview

#1. Feature detection

#2. Initial feature matching

#3. Patch expansion and filtering



Input image

#1

#2

#3

Initial feature matching

$c(p)$: triangulation

$n(p)$:

$V(p)$:

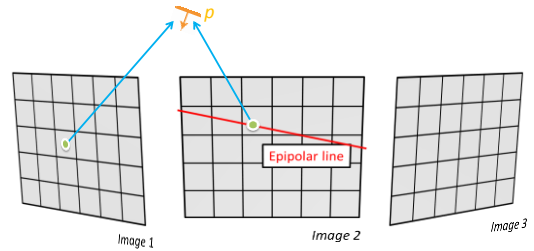


Image 1

Image 2

Image 3

Initial feature matching

$c(p)$: triangulation

$n(p)$: parallel to *Image1*

$V(p)$: {*Image1*, *Image2*}

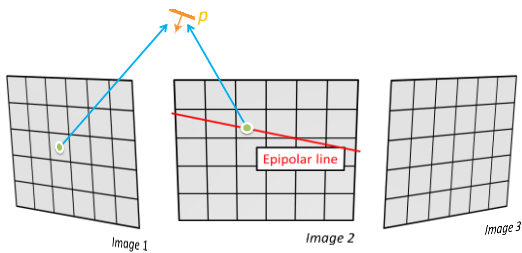


Image 1

Image 2

Image 3

Initial feature matching

$c(p)$: triangulation

$n(p)$: parallel to *Image1*

$V(p)$: {*Image1*, *Image2*, *Image3*}

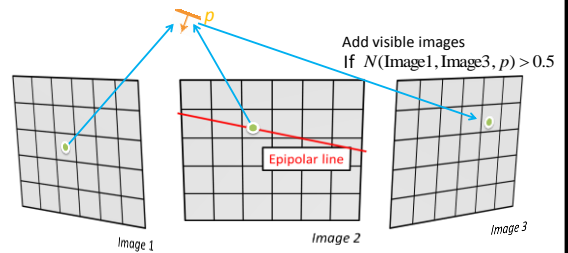
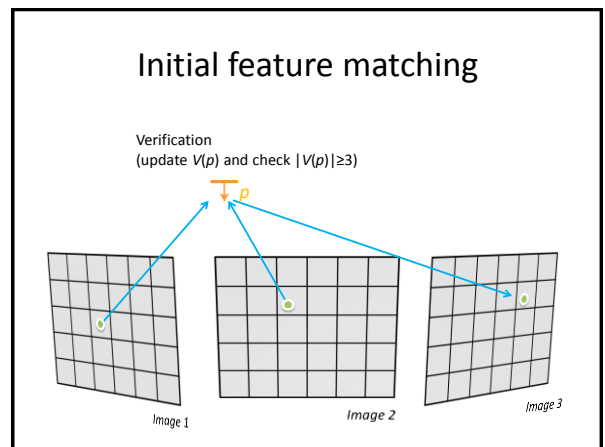
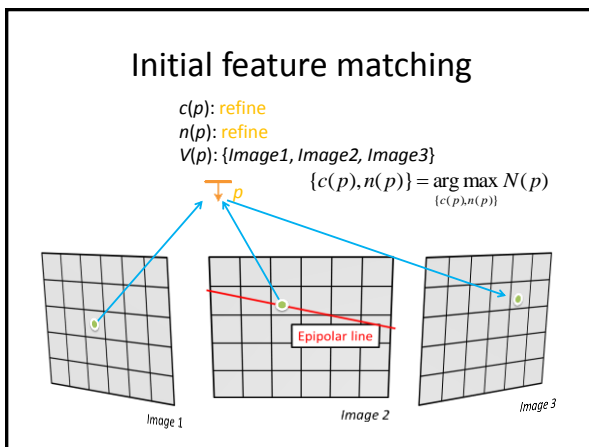
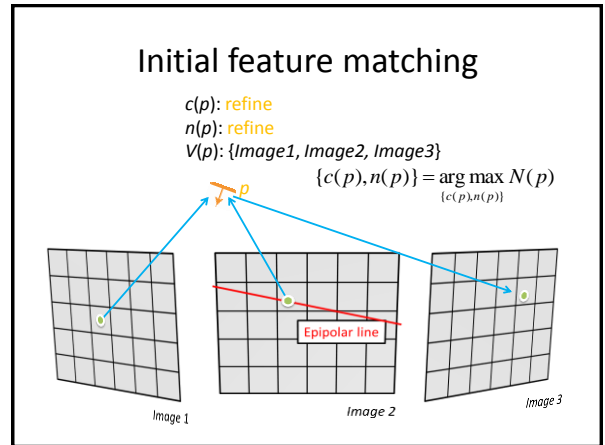
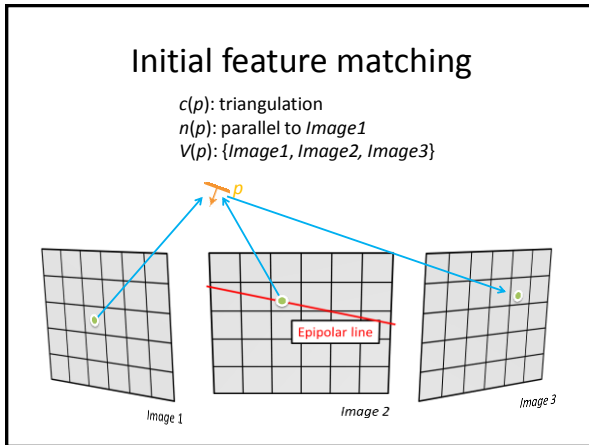


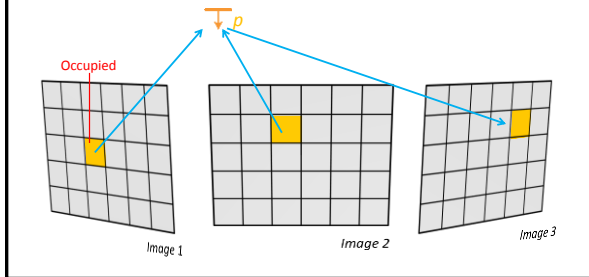
Image 1

Image 2

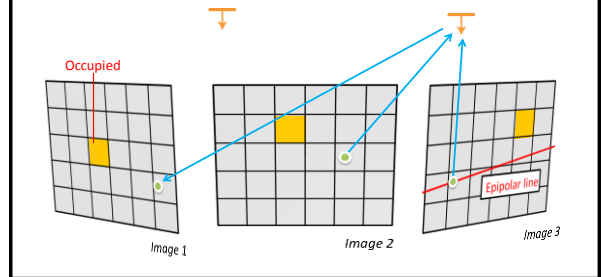
Image 3



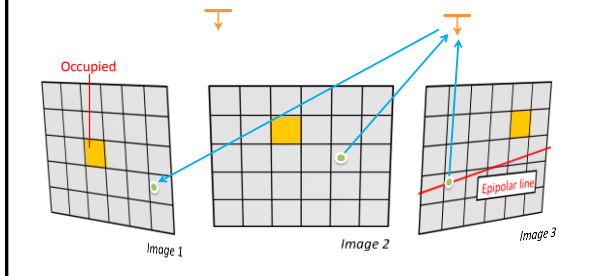
Initial feature matching



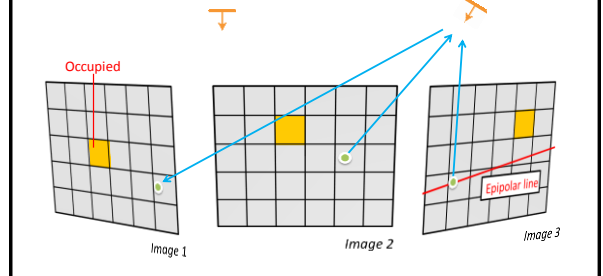
Initial feature matching



Initial feature matching

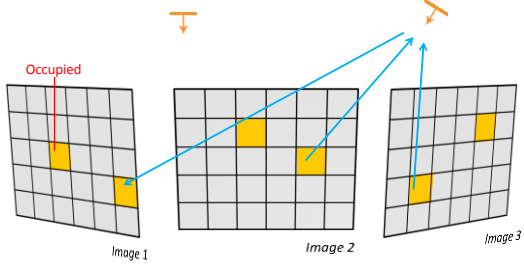


Initial feature matching



Initial feature matching

- Repeat for all the image features

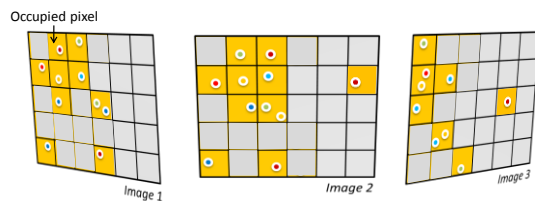


Algorithm overview

- #1. Feature detection
- #2. Initial feature matching
- #3. Patch expansion and filtering

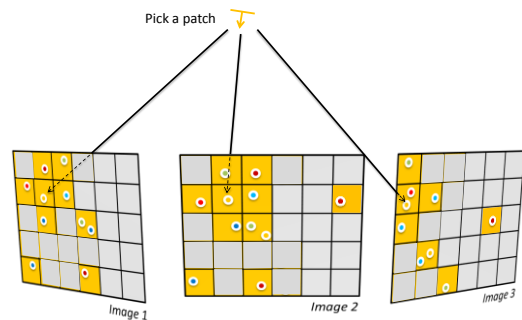


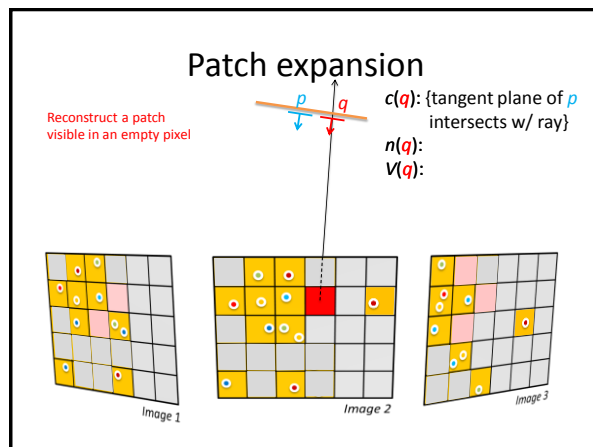
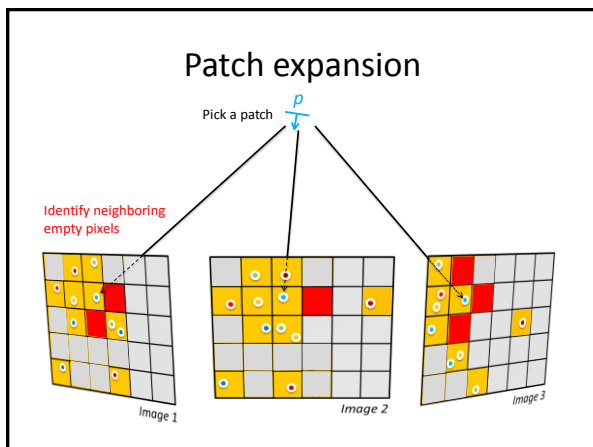
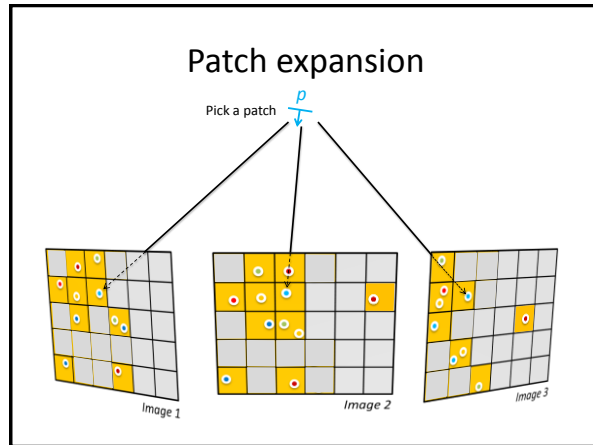
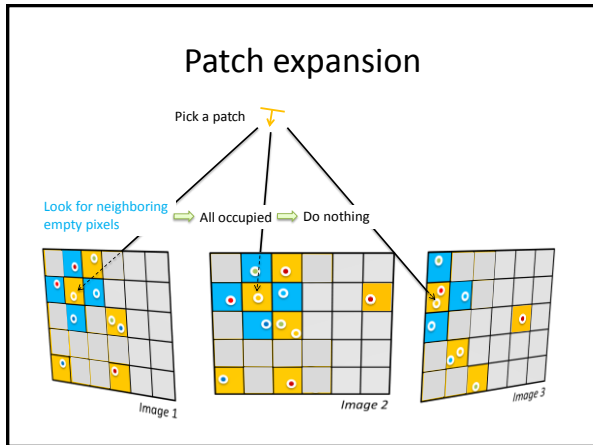
Patch expansion

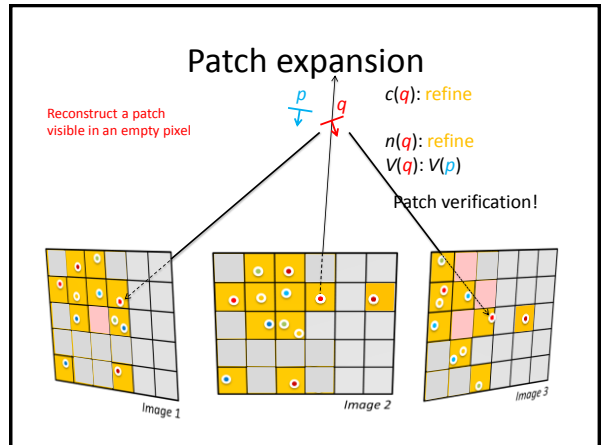
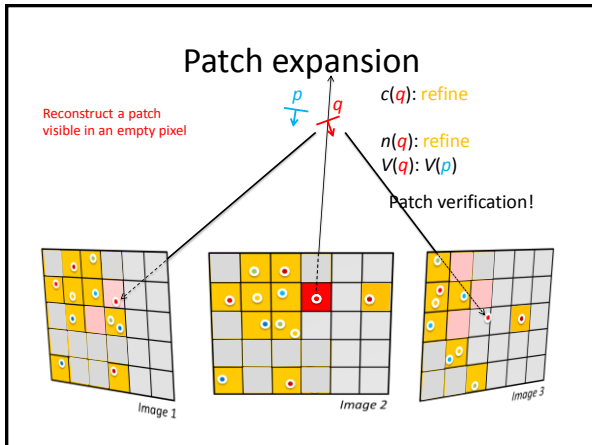
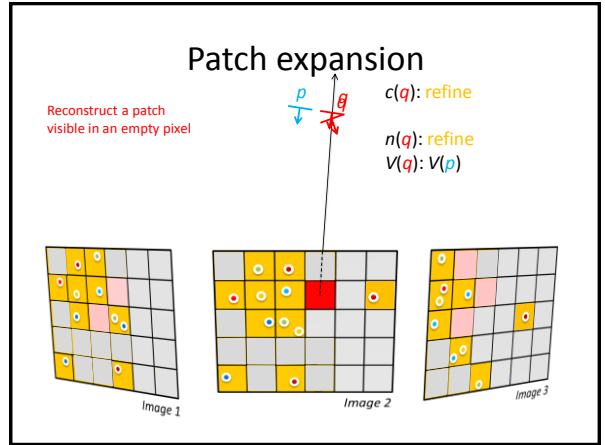
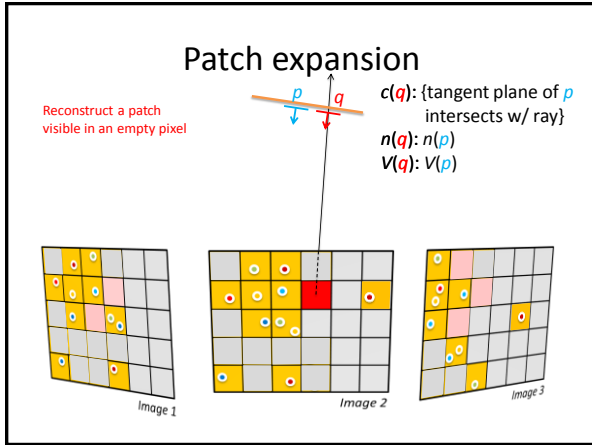


Patch expansion

Pick a patch





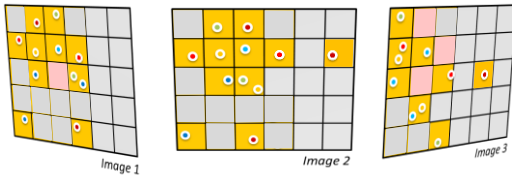


Patch expansion



Repeat

- for every patch
- for every neighboring empty pixel

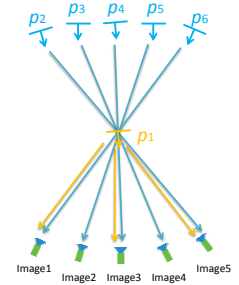


Patch filtering

- Visibility consistency

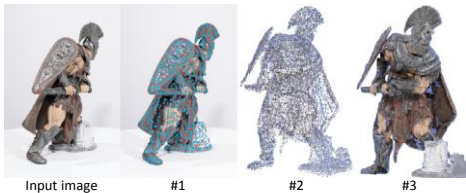
Filter out p_1 if

$$|V(p_1) \cap N(p_1)| < \sum_{i=2}^6 N(p_i)$$



Patch-based MVS [Furukawa and Ponce 07]

- #1. Feature detection
- #2. Initial feature matching
- #3. Patch expansion and filtering



Input image

#1

#2

#3



Skull - 24 images
2000x2000 [pixels]



Face - 4 images
1400x2200 [pixels]
(Courtesy of Industrial Light & Magic)

